

中央大学理工学部 正会員 林 泰造  
中央大学大学院 学生員 ○矢内 栄二

### 1. はじめに

移動床水流における河床変動は、流砂をともなう諸問題、例えば流砂量、流れの抵抗則などを取扱う上で大きな障害となっている。

そこで本研究は、比重の軽い砂により、実際河川に近い状態で実験を行って河床変動を統計的に解析し、その諸特性を明らかにした。

### 2. 実験及び解析方法

実験水路はFig. 1に示すような長さ15m、幅0.4mの鋼製環流式可変勾配水路を用いた。側壁は中央部10mが片面ガラス張りである。

実験に用いた河床砂はFig. 2に示す粒度加積曲線をもつ平均粒径 $d_{50} = 0.65\text{mm}$ , 65%粒径 $d_{65} = 0.85\text{mm}$ 比重 $S = 1.46$ の人工輕量砂である。

実験の手順は、勾配を一定として、水路中心線上の河床高の変動を超音波測深器で測定した。各実験での水理条件はTable 1に示すとおりである。

測定した河床高の変動記録は、乱れ、海の波の統計的解析法に準じて、パワースペクトル、有義波高を計算した。

### 3. 実験結果と考察

Table 2は実験の結果得られた平均波高、及び河床形態を表示したものである。

#### (1) スペクトルに関する考察

Fig. 3～Fig. 5に波数とパワースペクトルの関係を示す。これらの図にみられる顯著な特徴は、従来日野やJain and Kennedy等によって提示された-3乗則が本実験でもみられることがある。すなわち、従来の実験では標準砂という比重の大きな砂を使用していたので、河床変動を起こすようなフルード数、流速等が本実験より大きく、また河床波の波高や波長も大きなものを対象としていたが、本実験のようにフルード数が0.2程度、波高が3cm程度でも、高周波側における

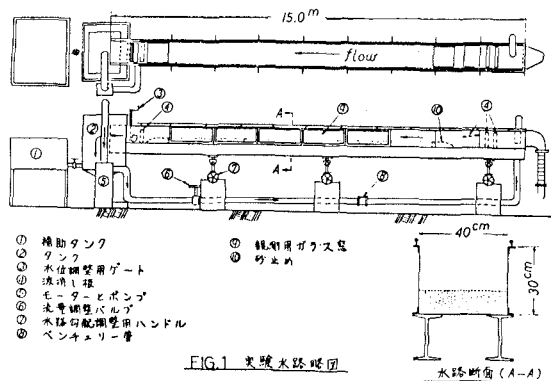


FIG. 1 実験水路略図

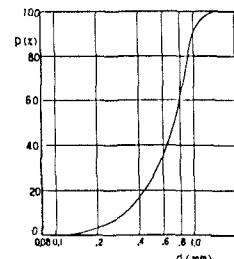


Fig. 2 Grain-Size accumulation curve of used sand.

Table 1

Run No.	D (cm)	Q (cm³/s)	U (%)	R (cm)	S	U₄ (%)	Fr
1	11.53	9471	20.54	7.31	0.00024	1.31	0.19
2	8.22	9471	28.80	5.83	0.00042	1.55	0.32
3	10.16	11662	28.70	6.74	0.00056	1.92	0.29
4	5.61	7014	31.26	4.38	0.00068	1.71	0.42
5	7.93	11155	35.17	5.68	0.00051	1.69	0.40
6	5.37	7608	35.42	4.23	0.00098	2.02	0.49

Table 2

Run No.	H (cm)	H₂ (cm)	R₂ (cm)	Bed configuration
1	2.3	4.3	0.153	Ripples
2	2.1	3.3	0.0375	Dunes
3	2.3	3.8	0.189	Do.
4	1.2	2.0	0.0319	Do.
5	1.3	2.3	0.0147	Do.
6	1.1	1.8	0.0412	Do.

る-3乗則が成立する領域があることがわかる。

### (2) 有義波高に関する考察

Fig. 6 は有義波高  $H_{1/3}$  と河床変動の標準偏差  $\sigma$  との関係を示している。

両者の間には、Nordinらが指摘した次式が本実験でも成立している。

$$H_{1/3} = 3\sigma \quad (1)$$

### (3) 抵抗則に関する考察

いま全せん断応力  $\tau$  を、有効せん断応力  $\tau_e$  と河床波によって生じるせん断応力  $\tau_s$  とに分けた時、Einstein は  $\tau_s$  を次のように考えた。

$$\frac{U}{U_{*e}} = 5.75 \log_{10} \left( \frac{12.27 \times R'}{k_s} \right) \quad (2)$$

Einstein は上式で  $k_s = d_{65}$  として流砂に有効に作用する怪深尺  $R'$  を未知数としたが、 $\tau_s$  を考えた場合には  $k_s \neq d_{65}$  である。

そこで本研究では、有義波高と次式で定義される相当砂粒粗度  $k_s$  との関係を Fig. 7 に、両者を粒径で無次元化したものを Fig. 8 に示した。

$$\frac{U}{U_{*e}} = 6.0 + 5.75 \log_{10} \frac{R}{k_s} \quad (3)$$

すなむち、両者の間には次の関係がある。

$$\frac{k_s}{d_{65}} = 0.02 \left( \frac{H_{1/3}}{d_{65}} \right)^{1.5} \quad (4)$$

### 参考文献：

C.F. Nordin and J.H. Algert (1966, HY5)

芦田・田中 (1967, 京大防災研年報)

芦田・奈良井 (1969, 京大防災研年報)

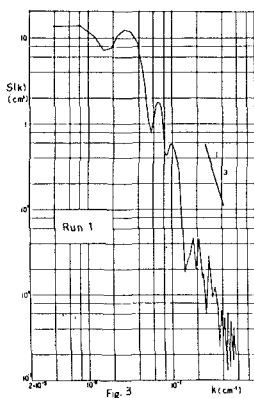


Fig. 3

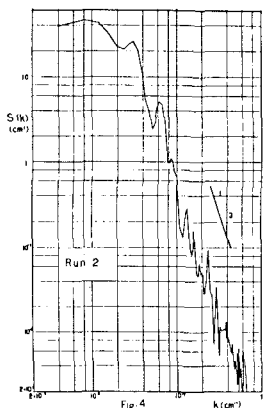


Fig. 4

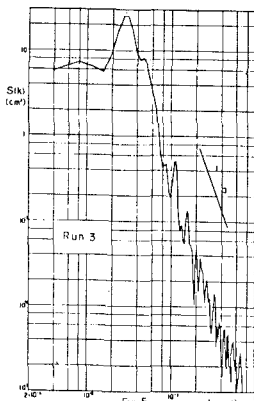


Fig. 5

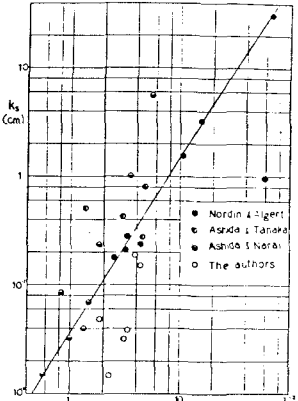


Fig. 7

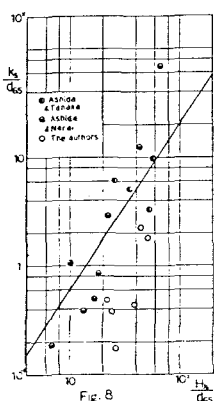


Fig. 8

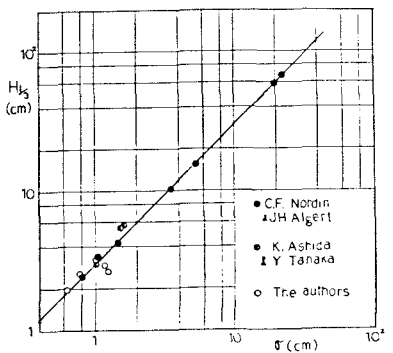


Fig. 6 Relationship between  $H_{1/3}$  and  $\sigma$